

## DAO ĐỘNG XOẪN CỦA CẦU TREO DẪM CỨNG VỚI TIẾT DIỆN NGANG BIẾN ĐỔI

NGUYỄN VĂN TỈNH

### § ĐẶT VẤN ĐỀ

**Đ**ể phân tích đầy đủ các tính chất động lực của cầu treo cần phải biết được tần số dao động riêng xoắn của cầu. Phần lớn các tài liệu đã biết chỉ mới giải quyết bài toán dao động xoắn của cầu treo dầm cứng với tiết diện ngang không đổi [1, 2, 3]. A.V. Smirmov [4] tính dao động xoắn của cầu treo có tiết diện ngang biến đổi dạng hình sin và giải bằng phương pháp gần đúng Bubnov Galerkin.

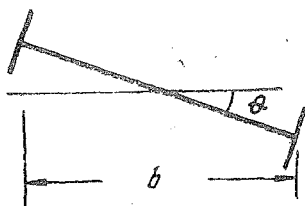
Trong bài này sẽ giải bài toán dao động xoắn đối với cầu treo có tiết diện ngang biến đổi bằng phương pháp ma trận chuyển tiếp, một phương pháp cho phép ta lập chương trình máy tính thuận tiện.

### §1. XÁC ĐỊNH MA TRẬN CHUYỂN TIẾP

Trong trường hợp cầu treo dầm cứng với tiết diện ngang biến đổi, ta có thể xem gần đúng là tiết diện ở mỗi đoạn  $[i - 1, i]$  của cầu là hằng số. Đối với đoạn  $[i - 1, i]$  đó phương trình dao động xoắn viết được:

$$EJ_{\omega} \frac{\partial^4 \bar{\theta}(x, t)}{\partial x^4} - GJ_d \frac{\partial^2 \bar{\theta}(x, t)}{\partial x^2} - Hg \frac{b^2}{2} \frac{\partial^2 \bar{\theta}(x, t)}{\partial x^2} + bq \frac{\bar{H}_d}{Hg} + 2m\rho^2 \frac{\partial^2 \bar{\theta}(x, t)}{\partial t^2} = 0 \quad (1.1)$$

Trong đó:



Hình 1

- $\bar{\theta}$  - góc xoắn [h.1]
- $b$  - chiều rộng của cầu,
- $E$  - mô đun đàn hồi uốn,  $G$  - mô đun đàn hồi xoắn
- $J_{\omega}$  - mô men quán tính tĩnh của tiết diện,
- $J_d$  - mô men quán tính xoắn thuần túy,
- $\rho$  - bán kính quán tính của tiết diện ngang,
- $q$  - trọng lượng một đơn vị dài của cầu,
- $m$  - khối lượng một đơn vị dài của cầu,
- $H_g$  - lực kéo ngang tĩnh trong cáp,
- $H_d$  - lực kéo ngang động trong cáp.

Đối với phương trình trên ta tìm nghiệm dưới dạng:

$$\bar{\theta} = \theta(x)e^{i\omega t}, \quad \bar{H}_d = H_d e^{i\omega t}$$

Sau khi thay các đại lượng trên vào phương trình (1.1) ta nhận được:

$$EJ_{\omega} \theta^{IV}(x) - (GJ_d + \frac{b}{2} H_g) \theta''(x) - 2m\rho^2 \omega^2 \theta'(x) + bq \frac{H_d}{H_g} = 0 \quad (1.2)$$

Nghiệm tổng quát của phương trình (1.2) được xác định:

$$\theta = C_1 \operatorname{ch} \frac{\lambda_1}{a_i} x + C_2 \operatorname{sh} \frac{\lambda_1}{a_i} x + C_3 \cos \frac{\lambda_2}{a_i} x + C_4 \sin \frac{\lambda_2}{a_i} x + \frac{bqH_d}{2m\rho^2 \omega^2 H_g} \quad (1.3)$$

Trong đó:

$a_i$  - chiều dài của đoạn  $[i-1, i]$ ,

$\omega$  - tần số dao động xoắn của cầu,

con,  $\lambda_1$  và  $\lambda_2$  là các nghiệm của phương trình đặc trưng được tính theo công thức sau đây:

$$\lambda_{1,2} = \sqrt{\frac{GJ_d + \frac{b^2}{2} H_g}{2EJ_{\omega}}} \left[ \pm 1 + \sqrt{1 + \frac{8EJ_{\omega} m \rho^2 \omega^2}{\left(GJ_d + \frac{b^2}{2} H_g\right)^2}} \right] \quad (1.4)$$

Tương tự như trong tài liệu [5], quan hệ phụ thuộc giữa  $\theta$  và  $H_d$  viết được bằng biểu thức:

$$\frac{H_d \mu}{E_c F_c} = \frac{bq}{2H_g} \int_0^l \theta(x) dx \quad (1.5)$$

với:  $l = \sum_{i=1}^k a_i$ ,  $f$  - độ võng của dầm giữa các, hệ số  $\mu$  được tính:

$$\mu = 1 + \frac{16f^2}{3l^2}$$

$E_c F_c$  - độ bền kéo của cáp

Trên cơ sở đẳng thức (1.3) và (1.5) ta nhận được nghiệm tổng quát sau đây; sau khi biến đổi và thực hiện các phép tính toán phụ:

$$\theta = C_1 \left( \operatorname{Ch} \frac{\lambda_1}{a_i} x + C_1^* \right) + C_2 \left( \operatorname{sh} \frac{\lambda_1}{a_i} x + C_2^* \right) + C_3 \left( \cos \frac{\lambda_2}{a_i} x + C_3^* \right) + C_4 \left( \sin \frac{\lambda_2}{a_i} x + C_4^* \right) \quad (1.6)$$

với:  $C_1^* = \frac{s}{\lambda_1} \operatorname{sh} \frac{l}{a_i} \lambda_1$ ,  $C_2^* = -\frac{s}{\lambda_1} \left( 1 - \operatorname{ch} \frac{l}{a_i} \lambda_1 \right)$ ,  $C_3^* = \frac{s}{\lambda_2} \sin \frac{l}{a_i} \lambda_2$ ,

$$C_4^* = \frac{s}{\lambda_2} \left( 1 - \cos \frac{l}{a_i} \lambda_2 \right), \quad s = \frac{baiqK}{2m\rho^2 \omega^2 H_g - bqIK}, \quad K = \frac{bqE_c F_c}{2H_g \mu} \quad (1.7)$$

Từ phương trình (1.6) ta tính các đạo hàm của hàm  $\theta(x)$  tới đạo hàm bậc bốn, từ đó ta nhận được:

$$\begin{pmatrix} \theta(x) \\ \theta'(x) \\ \frac{B(x)}{EJ_{\omega}} \\ \frac{L(x)}{EJ_{\omega}} \end{pmatrix} = \begin{pmatrix} C_1^* + \operatorname{ch} x u_1 & C_2^* + \operatorname{sh} x u_1 & C_3^* + \cos x u_2 & C_4^* + \sin x u_2 \\ u_1 \operatorname{sh} x u_1 & u_1 \operatorname{ch} x u_1 & -u_2 \sin x u_2 & u_2 \cos x u_2 \\ -u_1^2 \operatorname{ch} x u_1 & -u_1^2 \operatorname{sh} x u_1 & u_2^2 \cos x u_2 & u_2^2 \sin x u_2 \\ (u_1^2 u_1 - u_1^3) \operatorname{sh} x u_1 (u_2 u_1 - u_1^3) \operatorname{ch} x u_1 & -(u_1^2 u_2 + u_2^3) \sin x u_2 (u_1^2 u_2 + u_2^3) \cos x u_2 \end{pmatrix} \begin{pmatrix} C_1 \\ C_2 \\ C_3 \\ C_4 \end{pmatrix} \quad (1.8)$$

đặc dạng ngắn gọn:

$$\{T\} = [u(x)] \{c\} \quad (1.9)$$

trong đó:

$$u_1 = \frac{\lambda_1}{a_i}, \quad u_2 = \frac{\lambda_2}{a_i}, \quad u = \sqrt{\frac{GJ_d + \frac{b^2}{2} Hg}{EJ_\omega}}$$

$$B(x) = -EJ_\omega \theta'' \quad -B_i \text{ mô men}$$

$$L(x) = \left( GJ_d + \frac{b^2}{2} Hg \right) \theta' - EJ_\omega \theta''' \quad - \text{mô men xoắn.}$$

ta ký hiệu:

$$\{T(x=0)\} = \{T_{i-1}\}, \quad [u(x=0)] = [u_i(0)],$$

$$\{T(x=a_i)\} = \{T_i\}, \quad [u(x=a_i)] = [u_i(a_i)].$$

từ đẳng thức (1.9) viết được:

$$\{T_{i-1}\} = [u_i(0)] \{c\}$$

trong đó

$$[u_i(0)] = \begin{pmatrix} c_1^* + 1 & c_2^* & c_3^* + 1 & c_4^* \\ 0 & u_1 & 0 & u_2 \\ -u_1^2 & 0 & u_2^2 & 0 \\ 0 & u^2 u_1 - u_1^3 & 0 & u^2 u_2 + u_2^3 \end{pmatrix} \quad (1.10)$$

ừ đó

$$\{c\} = [u_i^{-1}] \{T_{i-1}\} \quad (1.11)$$

Thay đẳng thức trên vào phương trình (1.1) ta được:

$$\{T(x)\} = [u(x)] [u_i^{-1}(0)] \{T_{i-1}\} \quad (1.12)$$

và từ đó rút ra:

$$\{T_i\} = [u_i(a_i)] [u_i^{-1}(0)] \{T_{i-1}\} \quad (1.13)$$

Mà trận  $[u_i^{-1}(0)]$  ta tính từ biểu thức (1.10):

$$[u_i^{-1}(0)] = \begin{pmatrix} \frac{u_2^2}{v_1} & \frac{u_2^2 v_4}{v_1 v_2} & \frac{-(1 + C_3^*)}{v_1} & \frac{u_2^2 v_3}{v_1 v_2} \\ 0 & \frac{u^2 u_2 + u_2^3}{v_2} & 0 & \frac{-u_2}{v_2} \\ \frac{u_1^2}{v_1} & \frac{u_1^2 v_4}{v_1 v_2} & \frac{1 + C_1^*}{v_1} & \frac{u_1^2 v_3}{v_1 v_2} \\ 0 & \frac{u_1^3 - u^2 u_1}{v_2} & 0 & \frac{u_1}{v_2} \end{pmatrix} \quad (1.14)$$

trong đó:

$$\begin{aligned} v_1 &= u_2^2(1 + C_1^*) + u_1^2(1 + C_3^*), & v_2 &= u_1u_2^3 + u_2u_1^3, & v_3 &= -u_1C_4^* + u_2C_2^*, \\ v_4 &= C_4^*(u_2^2u_1 - u_1^3) - C_2^*(u_2^2u_2 + u_2^3). \end{aligned} \quad (1.15)$$

Sau khi thay  $x = a_i$  vào ma trận  $[u_i(x)]$  từ phương trình (1.8) ta nhận được:

$$[u_i(a_i)] = \begin{bmatrix} C_1^* + ch\lambda_1 & C_2^* + sh\lambda_1 & C_3^* + \cos\lambda_2 & C_4^* + \sin\lambda_2 \\ u_1sh\lambda_1 & u_1ch\lambda_1 & -u_2\sin\lambda_2 & u_2\cos\lambda_2 \\ -u_1^2ch\lambda_1 & -u_1^2sh\lambda_1 & u_2^2\cos\lambda_2 & u_2^2\sin\lambda_2 \\ (u_2^2u_1 - u_1^3)sh\lambda_1 & (u_2^2u_1 - u_1^3)ch\lambda_1 & (u_2^2u_2 - u_2^3)\sin\lambda_2 & (u_2^2u_2 - u_2^3)\cos\lambda_2 \end{bmatrix} \quad (1.16)$$

Từ điều kiện cân bằng của nút «i» ta nhận được ma trận nút:

$$[W_i] = \begin{bmatrix} 1 & 0 & 0 & 0 \\ 0 & 1 & 0 & 0 \\ 0 & 0 & 1 & 0 \\ v & 0 & 0 & 1 \end{bmatrix} \quad (1.17)$$

với:

$$v = \frac{2m\rho^2 a_i \omega^2}{EJ_\omega}$$

Cuối cùng ta viết được ma trận chuyển tiếp cho mỗi đoạn:

$$[P_i] = [w_i] [u_i(a_i)] [u_i^{-1}(0)] \quad (1.18)$$

Đối với cầu treo có k đoạn:

$$[P] = \prod_{i=1}^k [p_i] \quad (1.19)$$

Còn đối với các dao động phân đối xứng thì các hệ số  $C_1^*$ ,  $C_2^*$ ,  $C_3^*$ ,  $C_4^*$  bằng không.

Trong trường hợp cầu treo dầm cứng với tiết diện ngang không đổi thì:

$$[P] = [u(l)] [u^{-1}(0)] \quad (1.20)$$

Sử dụng điều kiện biên và ứng dụng phương pháp gần đúng dần, ta có thể tính được tần số dao động xoắn của cầu treo bằng cách cho các định thức tương ứng của ma trận chuyển tiếp bằng không.

## § 2. THÍ DỤ

Để minh họa cho sự đúng đắn của phần lý thuyết đã trình bày trong phần này ta tính ví dụ cụ thể cho cầu treo với các số liệu kỹ thuật đã cho trong tài liệu [2]:

$$\begin{aligned} l &= 500\text{m}, & b &= 21\text{m}, & q &= 147,0983\text{kNm}^{-1}, & E &= 20,593 \cdot 10^7\text{kNm}^{-2} \\ E_c &= 15,6905 \cdot 10^7\text{kNm}^{-2}, & F_c &= 0,2\text{m}^2, & J_\omega &= 525\text{m}^6, & J_d &= 4,5 \cdot 10^{-4}\text{m}^4, \\ G &= 7,9433 \cdot 10^7\text{kNm}^{-2}, & H_g &= 91936,4063\text{kN}, & 2m &= 4220,8188\text{kNsec}^2, \end{aligned}$$

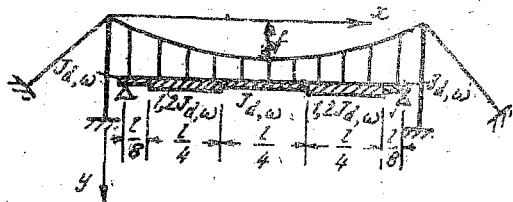
với điều kiện biên:  $\theta(0) = \theta(l) = \theta''(0) = \theta''(l) = 0$

Tính cho hai trường hợp:

- Dầm cứng có tiết diện ngang không đổi.
- Dầm cứng có tiết diện ngang thay đổi, chia ra 5 đoạn như hình 2.

Chương trình tính toán viết theo ngôn ngữ Algol và được tính tại Trung tâm tính toán của trường Đại học Bách khoa Poznan.

Kết quả tính toán như sau:



Hình 2

Tần số dao động xoắn	$\omega_1$	$\omega_2$	$\omega_3$	$\omega_4$
Trường hợp a/	1,243	1,732	2,196	2,650
Trường hợp b/	1,672	1,960	2,809	4,369

### § 3. KẾT LUẬN

Phương pháp giới thiệu trong bài này cho phép ta xác định được tần số dao động xoắn của cầu treo dầm cứng với tiết diện ngang biến đổi. Ưu điểm của phương pháp này là việc lập chương trình tính toán được dễ dàng vì phần chủ yếu của tính toán là thực hiện phép nhân các ma trận.

Từ kết quả thu được ta nhận thấy nếu độ chịu xoắn của dầm cứng tăng lên thì tần số dao động xoắn cũng tăng lên, mặc dù lúc đó độ chịu kéo của cáp và khối lượng riêng của cầu không đổi. Thí dụ tần số dao động chính  $\omega_1$  trong trường hợp «b» lớn hơn trong trường hợp a/ tới 34%.

Địa chỉ  
Đại học xây dựng

Nhận ngày 16/12/1979

### TÀI LIỆU THAM KHẢO

- Solocki R. Szymkiewicz J. Układy pretowe i powierzchniowe. Obliczenia dynamiczne, Warszawa 1964.
- Hawranek Steinhardt B. Theorie und Berechnung der Stahlbracken, Berlin 1958.
- ЧЕРВЯКОВ А.В.В. Канонические методы определения собственных частот и форм крутильных колебаний висячих мостов. Рас. прост. систем в строит. Мех. Саратов, ун-Т, 1972.
- СМИРНОВ В.А. Висячие мосты больших пролетов, Изд. Высшая школа, Москва, 1970.
- Tiah N.V. Macierzowe sformulowanie drgán mlasnych ukladu ciegnowo - pretowego, Arch. Inz. Lad. t. XXI. z.4. 1975.

### SUMMARY

#### TORSIONAL VIBRATION OF SUSPENSION BRIDGE WITH A VARIABLE CROSS SECTION

The transfer matrix method to torsional vibrations of a suspension bridge with variable cross sections is reported.

The method described above is particularly suitable for implementing an efficient computer program. A numerical example is also given.